



Fotografía 1.- Panorámica de la costa de Barlovento de Jandía. Discordancia (d) entre el tramo inferior y el medio-superior de la F. basáltica miocena. (MiOCENO)



Fotografía 10.- Panorámica de los Corrales de Mal Nombre. Apilamiento de coladas, con pequeñas discordancias locales, de los tramos medio y superior de la F. basáltica miocena. ( MiOCENO).



Fotografía 11.- Panorámica de la ladera norte del barranco de los Canarios en la divisoria del Cuchillete. Apilamiento de coladas de la F. basáltica miocena, con discordancias locales entre los tramos medio y superior. (MIOCENO)



Fotografía 12.- Cuchillo del Medio. Cono de piroclastos rojizos bajo el apilamiento de coladas del tramo sup. de la F. basáltica miocena. (Miocene)



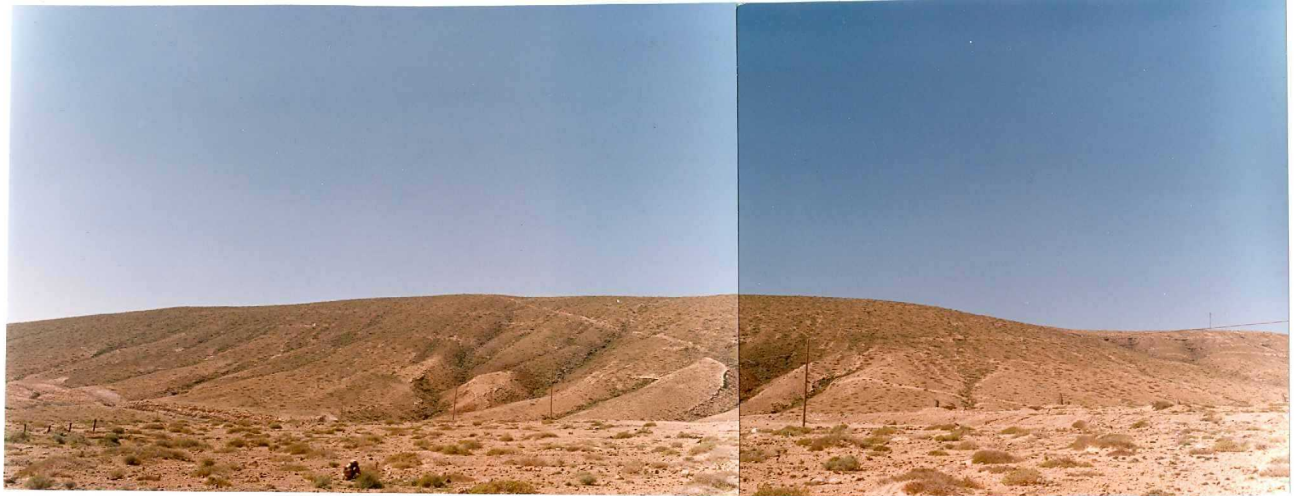
Fotografía 13.- Detalle de un nivel de almagre y unos depósitos epiclásticos en la ladera norte de Montaña Blanca en el barranco de los Canarios. (MIOCENO)



Fotografía 14.- Panorámica de la costa de Barlovento entre la degollada de Pecenescal y Punta Paloma. Depósitos de arenas eólicas pliocenas sobre los materiales del tramo inferior de la F. basáltica miocena. (Miocene)



Fotografía 15.- Panorámica de los derrubios de ladera y depósitos de arenas eólicas en calichadas en la costa de Barlovento al sur de la degollada de Pecenes cal. (PLIOCENO)



Fotografía 16.- Panorámica de la ladera del barranco del Salmo. Depósitos de ladera encalichados seccionados por la red de drenaje actual.(Plio-CUATERNARIO)



Fotografía 17.- Sedimentos conglomeráticos pliocenos en la trinchera de la crtra, junto al barranco del Salmo. (PLIOCENO)



Fotografía 18.- Panorámica hacia el sur del campo de dunas de "El Jable" o Istmo de la Pared. Al fondo los relieves basálticos miocenos del Edificio Jandía.  
**(CUATERNARIO)**



Fotografía 19.- Depósitos de arenas eólicas con intercalaciones de sedimentos detriticos aluviales seccionados por el cauce del barranco de Pecenescal.(CUATERNARIO)



Fotografía 2.- Otro aspecto más detallado de la discordancia (d) de la fotografía anterior con diques truncados (t). (MiOCENO)



Fotografía 20.- Panorámica de la playa del Salmo. Dunas holocenas, sin vegetar, adosadas al acantilado de sedimentos pliocenos. Al fondo, coladas de la F. basáltica miocena. (HOLOCENO)



Fotografía 21.- Panorámica de la playa de Sotavento de Jandía desde las Casas del Risco del Paso hacia costa Calma. Barras de arena y depósitos de arenas eólicas holocenas adosadas a los acantilados. (HOLOCENO)



Fotografía 22.- Panorámica de la playa del Hotel Los Gorrijones. (HOLOCENO)



Fotografía 3.- Desde la degollada de Pecenescal, panorámica de la discordancia al techo del tramo inferior de la F. basáltica miocena. Depósito de tobas sálicas (t), almages en la base de las coladas del tramo medio (m) y potente apilamiento de coladas del tramo superior (s). (Mioceno)



Fotografía 4.- Detalle de la discordancia (d) de la fotografía anterior. El tramo inferior se caracteriza por la abundancia de diques que quedan interrumpidos en el nivel blanco de tobas sálicas. Sobre este nivel hay lentejones con conglomeráticos. (MIOCENO)



Fotografía 5.- Vista de detalle del nivel de tobas sálicas (t), de la fotografía anterior, y de los sedimentos (s) situados entre el tramo inferior y medio de la F. basáltica miocena. Por debajo, depósitos freatomagmáticos atra  
vesados por abundantes diques. (MIOCENO)



Fotografía 6.- Vista panorámica de la ladera norte del barranco de los Canarios. Materiales piroclásticos hidromagmáticos de un cono enterrado (c), del tramo inferior, bajo el apilamiento de coladas del tramo medio-superior (m-s) de la F. basáltica miocena. (MIOCENO)



Fotografía 7.- Panorámica de la ladera sur del barranco de los Canarios. Cono enterrado bajo el apilamiento de coladas del tramo medio-superior de la F. basáltica miocena. (MIOCENO)



M-S

Fotografía 8.- Detalle de los materiales piroclásticos hidromagmáticos del cono de la fotografía anterior. Hay varios diques (d) subparalelos al plano de observación encajando en estos materiales; sin embargo, en las coladas - del tramo medio-superior (m-s) no se observa ninguno. (MIOCENO)



Fotografía 9.- Pequeño afloramiento de coladas y escorias del tramo inferior de la - F. basáltica miocena en el Morrete de Veril Manso atravesadas por mul-  
titud de diques de dirección N. 50°E. (MIOCENO)